

## تحلیل آماری و پیش‌بینی احتمال وقوع طوفان‌های شدید با استفاده از روش تجزیه و تحلیل سری‌های جزئی (مطالعه موردی: منطقه سیستان)

تقی طاووسی \*، استادیار گروه جغرافیای طبیعی، دانشکده جغرافیا و برنامه‌ریزی محیطی، دانشگاه سیستان و بلوچستان  
کوهزاد رئیس پور، دانشجوی دکترای اقلیم‌شناسی، دانشکده جغرافیا و برنامه‌ریزی محیطی، دانشگاه سیستان و بلوچستان

### چکیده

حدود ۹۰ درصد از بلایای طبیعی که در جهان رخ می‌دهند در ارتباط با عوامل اقلیمی است و در میان آن‌ها، طوفان‌ها بعد از سیل، حدود ۳۰ درصد از سهم این بلایا را به خود اختصاص می‌دهد. این پدیده یکی از مخاطره‌آمیزترین بلایای طبیعی است که منشأ اقلیمی داشته و همه ساله خسارات مالی و جانی جبران‌ناپذیری را تحمل می‌نماید. منطقه سیستان یکی از مناطق طوفان‌خیز است که در جنوب-شرق ایران و در شمال استان سیستان و بلوچستان واقع شده است. به منظور بررسی آماری طوفان‌های با سرعت مساوی و بیشتر از  $24 \text{ m/s}$  (پایه طوفان در مقیاس بیوفورت) و پیش‌بینی احتمال وقوع طوفان‌های شدید به روش تجزیه و تحلیل سری‌های جزئی (Partial series)، از داده‌های بادستجی ایستگاه سینوپتیک زابل طی یک دوره آماری ۳۰ ساله (۱۳۵۹-۱۳۸۸) استفاده گردید. صحت و همگنی داده‌ها با استفاده از آزمون دنباله‌ها (RunTest) تأیید شد. از میان داده‌های ثبت شده در طول دوره آماری، ۱۶۲ روز طوفانی مشاهده شد. بیشترین روزهای طوفانی مربوط به سال ۱۳۶۲ با ۶۴ روز طوفانی است. در کل سه مورد از طوفان‌ها، دارای سرعت بیشینه  $40 \text{ m/s}$  ( $144 \text{ km/h}$ ) بوده که بیانگر شدت طوفان‌ها در منطقه سیستان می‌باشد. فصل تابستان و تیرماه از بیشترین و فصل زمستان و دی ماه از کمترین روزهای طوفانی فصلی و ماهانه برخوردار بودند. ترسیم گلطفوان سالانه و فصلی به کمک نرم‌افزار WRPLOT نشان داد جهت طوفان‌های چیره منطقه، شمال شمال غربی (NW)، شمال (N) و شمال غربی (NNW) می‌باشد. نتایج، احتمال وقوع شدیدترین طوفان‌های سیستان را در دوره‌های بازگشت مختلف پیش‌بینی می‌کند. احتمال وقوع بالاترین سرعت طوفان در یک دوره بازگشت صد ساله در سیستان، تا  $42 \text{ m/s}$  ( $151 \text{ KM/H}$ ) پیش‌بینی می‌شود. بنابراین، در برنامه‌ریزی‌های محیطی و ایمن‌سازی سازه‌ها بایستی وقوع این مخاطره طبیعی را مدد نظر قرار داد تا در صورت وقوع، خسارات وارد به حداقل ممکن کاهش یابد.

### واژگان کلیدی

مخاطرات طبیعی، طوفان، سری‌های جزئی، گلطفوان، سیستان.

**۱- مقدمه**

در سراسر جهان بلایا و مخاطراتی است که همواره جان و مال بشر را در معرض خطر قرار می‌دهد. در میان این بلایا، طوفان یکی از مخاطره‌آمیزترین آن‌ها می‌باشد و در ردیف بلایایی قرار دارد که منشأ آب و هوایی دارند (قائمی و عدل، ۱۳۷۱: ۷). پژوهش‌ها نشان می‌دهند که حدود ۹۰ درصد از بلایای طبیعی جهان در ارتباط با عوامل اقلیمی بوده و در میان آن‌ها، طوفان‌ها بعد از سیل (۳۵ درصد)، حدود ۳۰ درصد از سهم این بلایا را به خود اختصاص می‌دهد (سازمان هواشناسی، ۱۳۸۵: ۱۴). طوفان به آشفتگی شدید جوی و اختلال شدید هوا گفته می‌شود که بر اثر حرکت شدید باد و در جریان دو جبهه‌ی هوایی سرد و گرم تولید می‌شود. شدت بادهای طوفانی به قدری زیاد است که به صورت امواج هوایی سریع به حرکت در می‌آید و در مسیر خود باعث قطع درختان، خرابی ساختمان‌ها و شکستن شیشه‌ها می‌شود و مناطق وسیعی را در هم می‌کوبد (رازجویان، ۱۳۸۶: ۵). سرعت طوفان گاه به صدها کیلومتر در ساعت می‌رسد (Lin, 2002: 52). در پاره‌ای از مناطق ایران نیز وقوع طوفان‌های با سرعت بیش از ۱۰۰ کیلومتر در ساعت بارها اتفاق افتاده است. در این میان می‌توان به طوفان ۸۵/۵/۱۸ زابل، ۸۷/۲/۱۷ دهلران، ۸۸/۱۰/۱۶ اردبیل، ۸۸/۱۲/۳ گلپایگان، ۸۸/۱۲/۲۴ در شهرستان‌های ماکو، نقد و پیرانشهر، ۸۸/۱۲/۲۶ مهاباد، ۸۹/۱/۹ در زنجان و اردبیل و ۸۹/۲/۲۰ در اردبیل اشاره نمود. این طوفان‌ها، علاوه بر ایجاد خسارات مالی زیاد به تأسیسات، شبکه‌ها و مناطق مسکونی، باعث کشته شدن حدود ۱۰ نفر و زخمی شدن بیش از ۱۰۰ نفر گردید (سایت آفتاب، ۱۳۸۹). آمار و ارقام بیانگر اهمیت بسیار زیاد مسئله است. گرچه بلایای طبیعی اصولاً ماهیتی پیچیده دارند و در شرایط کنونی بسیاری از آن‌ها خارج از کنترل انسان به نظر می‌رسند؛ اما میزان آسیب‌پذیری نتیجه عملکرد عوامل انسانی است و همان طوری که گفته شده پیشگیری از حادثه، بهتر از واکنش در مقابل حادثه است، بنابراین ارتقای دانش و آگاهی‌های عمومی، خود عامل مهمی در کاهش اثرات طوفان محسوب می‌گردد.

در ک درست از پدیده‌ی طوفان، منجر به پیش‌بینی، پیشگیری و تقابل منطقی و درست با آن خواهد شد. به عبارت دیگر، به کمینه رساندن خطرات ناشی از رخداد طوفان، با انتخاب راهکارهای مؤثر ممکن خواهد بود. به هر حال سؤال اصلی پژوهش این است که: آیا پیش‌بینی وقوع شدیدترین طوفان‌های یک محل در دوره‌های بازگشت مختلف امکان پذیر است؟

**۲- مبانی نظری و پیشینه تحقیق**

هنگامی که هوای قسمتی از زمین گرم‌تر از نواحی مجاور باشد، حجم آن افزایش می‌یابد. یعنی در جهت عمودی حرکت کرده و گسترش می‌یابد. در منطقه گرم شده، در روی زمین، مولکول‌های هوا در اثر کسب انرژی حرارتی گرم و سبک شده و صعود می‌کنند؛ بنابراین فشار هوا در روی زمین نسبت به نواحی مجاور کمتر شده و در نتیجه بر روی منطقه گرم، مراکز کم فشار یا فروبار ایجاد شده به عکس بر روی منطقه سرد، مرکز پرفشار یا فرایار پدید می‌آید (جعفرپور، ۱۳۸۵: ۱۱۲). پس هوا از منطقه پرفشار به منطقه کم فشار جریان پیدا می‌کند. شب تغییرات فشار عامل اصلی حرکت هوا به صورت باد است. هر چه شب تغییرات فشار میان مراکز فشار بیشتر باشد منجر به افزایش سرعت باد خواهد شد. هرگاه سرعت باد از آستانه‌های مشخصی که در این تحقیق مقیاس بوفورت (Beaufort) ملاک عمل قرار گرفته است، عبور نماید، بستگی به میزان سرعت، به آن عنایین مختلفی از باد آرام تا هاریکن اطلاق می‌شود (جدول ۱). سرعت یک کمیت

برداری است که دارای دو مؤلفه سمت و تندی می‌باشد. تندی باد بر حسب متر بر ثانیه، گره بر ثانیه، کیلومتر بر ساعت، مایل بر ساعت و... اندازه‌گیری می‌شود. در مورد بادهای شدید و طوفان‌ها، واحد کیلومتر بر ساعت نیز مورد استفاده قرار می‌گیرد (مهدوی، ۱۳۸۵: ۷۸). جهت باد نیز بر حسب درجه و شانزده جهت اصلی و فرعی به ترتیب شامل شمال، شمال شرقی، شرق، جنوب شرقی، جنوب، جنوب غربی، غرب، شمال غربی و... اندازه‌گیری می‌شود (علیزاده و کمالی، ۱۳۸۶: ۱۸۷)

جدول ۱. طبقه‌بندی سرعت باد بر اساس شاخص بیوفورت

نیروی بیوفورت	سرعت			شرح وضعیت	
	M/S	Mi/h	Knot	Calm	وضعیت آرام
۰	۰/۵	۱	۱	Light air	هوای سبک
۱	۰/۵-۱/۵	۱-۳	۱-۳	Light breeze	نسیم سبک
۲	۲-۳	۴-۷	۴-۶	Gentle breeze	نسیم ملایم
۳	۳/۵-۵	۸-۱۲	۷-۱۰	Moderate breeze	باد خفیف
۴	۵/۵-۸	۱۳-۱۸	۱۱-۱۶	Fresh breeze	نسیم خنک
۵	۸/۵-۱۰/۵	۱۹-۲۴	۱۷-۲۱	Strong breeze	باد تند
۶	۱۱-۱۳/۵	۲۵-۳۱	۲۲-۲۷	Moderate gale	باد نسبتاً شدید
۷	۱۴-۱۶/۵	۳۲-۳۸	۲۸-۳۳	Fresh gale	باد شدید
۸	۱۷-۲۰	۳۹-۴۶	۳۴-۴۰	Strong gale	تنبیاد
۹	۲۰/۵-۲۳/۵	۴۷-۵۴	۴۱-۴۷	Whole gale	طوفان
۱۰	۲۴-۲۷/۵	۵۵-۶۳	۴۸-۵۵	Storm	طوفان شدید
۱۱	۲۸-۳۱/۵	۶۴-۷۲	۵۶-۶۳	Hurican	طوفان بسیار شدید
۱۲-۱۷	>۳۲	>۷۲	>۶۴		

مأخذ: علیزاده و همکاران، ۱۳۸۶

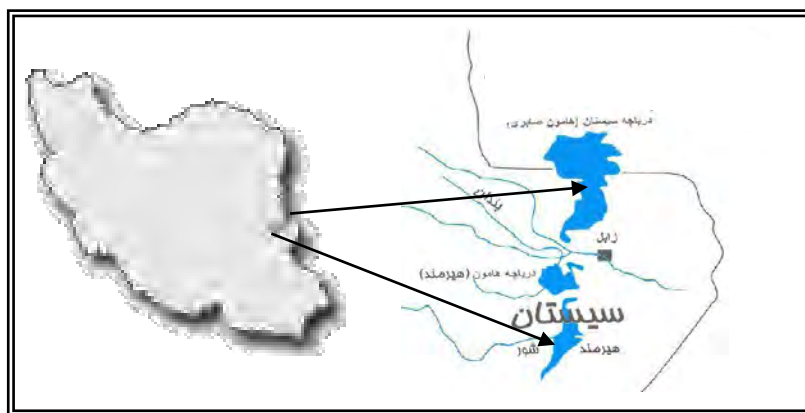
بشر از ابتدای خلقت با بلایای طبیعی دست به گریبان بوده است و همواره سعی نموده تا با شناخت آن‌ها، حوادث ناشی از آن را به‌گونه‌ای کاهش دهد. یکی از عواملی که همیشه مورد بررسی و تحقیق بوده باد و پدیده‌های مربوط به آن است. طوفان به عنوان یکی از پدیده‌های اقلیمی، نقش بسیار مؤثری در زندگی انسان و برنامه‌ریزی‌های حال و آینده او داشته و همواره یکی از پایه‌های مطالعاتی برنامه‌ریزی محیطی می‌باشد. طوفان یکی از بلایای طبیعی است که وقوع آن طی سال‌های گذشته خسارات سنگی بر زیرساخت‌های توسعه کشور ایران وارد ساخته است. بنابراین شناخت و بررسی طوفان که نقش به‌سزایی در زیست بوم داشته و به عنوان یکی از مخاطرات طبیعی، اثرات سیستمی در محیط زیست دارد، ضروری به نظر می‌رسد. باد که عامل اصلی ایجاد آن، شبیه تغییرات فشار بین نقاط پرفشار و کم فشار می‌باشد (کاویانی و علیجانی، ۱۳۸۶: ۱۴۷). هنگامی که سرعتش از یک آستانه مشخص بیشتر شود، فعالیت تخریبی آن آغاز شده و منجر به وقوع طوفان می‌گردد (Hangen, 1976: 107). نیروهای باد در طول سال و حتی در طول روز تا حد زیادی تغییر می‌نمایند (Zobeck, 1991: 112). به منظور تعیین سهم بادهای شدید و طوفانی، دانستن ویژگی‌های باد منطقه (عمدتاً سرعت و جهت) در طول شبانه روز ضروری بوده و بنابراین توزیع فراوانی سرعت باد در هر منطقه حائز اهمیت است (Stewart & Essenwanger, 1987: 1633). مرجانی با استفاده از نقشه‌های همدید، عامل مؤثر بر وقوع طوفان در خراسان را، وجود مرکز کم فشار در نقاط مختلف ایران می‌داند (مرجانی، ۱۳۷۲: ۱۴). دایان با انجام روش‌های آماری و خوشبندی بر روی طوفان‌های شدید در اسرائیل، سه نوع طوفان با ویژگی‌های تخریبی را شناسایی کرده است (Dayan, 1986: 537). بررسی عوامل ژنتیکی بادهای ۱۲۰ روزه

سیستان نشان داده است که طوفان‌های سریع با سرعت حدود ۸۰ گره در ثانیه هنگامی رخ می‌دهد که منطقه‌ی تاوایی مثبت بادهای غربی در مجاورت زبانه کم‌شار فرعی موسمی قرار گیرد (خسروی و سلیقه، ۱۳۸۴: ۱). نتایج حاصل از آنالیز داده‌ها، بیانگر بیشترین احتمال وقوع بادهای فرساینده شهر زابل بهترتب در ماههای جولای و آگوست با جهت شمال شمال‌غربی (NNW) بوده است (گندمکار و همکاران، ۱۳۸۶: ۹۶). با مطالعه پیش‌بینی ساعتی سرعت و جهت باد ایستگاه زابل با استفاده از زیر مدل وضعیت‌ها در مدل WEPS، با احتمال ۹۹ درصد، توزیع فراوانی ویبول، مدلی قابل قبول برای پیش‌بینی سرعت و جهت بادهای فرساینده در منطقه زابل بوده است (مصطفی و همکاران، ۱۳۸۷: ۸۵). با توجه به موقعیت شهرستان زابل و قرار گیری آن در دشت سیستان، وقوع طوفان کراراً اتفاق می‌افتد. رخداد بادهای صدویست روزه از ویژگی‌های ذاتی منطقه است و معمولاً از اوایل خرداد شروع و تا اوایل مهر به پایان می‌رسند (علیجانی، ۱۳۸۵: ۷۶). بنابراین تشکیل طوفان‌های شدید شن و ماسه در این منطقه، مطالعه و شناخت شدیدترین طوفان‌های به وقوع پیوسته و پیش‌بینی احتمال وقوع آن‌ها را طی دوره‌های بلند مدت، ضروری می‌نماید. با شناخت این پدیده می‌توان در تعیین آستانه آسیب‌پذیری سازه‌ها در مناطق شهری و روستایی، طراحی سازه‌های مقاوم در آینده، کاهش خسارات و مدیریت آن، به وضعیت مطلوب دست یافت.

### ۳- موقعیت منطقه مورد مطالعه

منطقه مورد مطالعه، سیستان، در جنوب شرق ایران و شمال استان سیستان و بلوچستان واقع می‌باشد که به لحاظ اقلیمی در گروه اقلیم بیابانی میانه قرار گرفته است (احمدی، ۱۳۷۰، ۱۴). در دشت سیستان همان طوری که شکل (۱) نشان می‌دهد علاوه بر شهرهای مهم و پرجمعیت زابل، زهک، دوست محمد، هیرمند و ادیمی، بخش‌های مهمی مانند شب آب، پشت آب، لوتك و بنجار به همراه بیش از ۷۰۰ روستا در این منطقه استقرار یافته‌اند (آمارنامه استان سیستان و بلوچستان، ۱۳۸۵: ۴۲)، وسعت منطقه حدود ۱۵۱۹۵ کیلومتر مربع و اراضی قابل کشت آن (در صورت وجود جریان آب در رود هیرمند) ۱۴۰ هزار هکtar است که ۶۷/۲ درصد از اراضی کشاورزی استان را به خود اختصاص داده است (اکبری‌مقدم و اعتصام، ۱۳۷۰: ۱۸). براساس آمار ۳۰ ساله هواشناسی زابل (۱۹۸۰-۲۰۰۹)، در این منطقه، به طور متوسط سالیانه بیش از ۳۰۰ روز خشکی وجود دارد. اقلیم آن به روش‌های گوسن و سلیانینوف، بیابانی و به روش کوپن، خشک بسیار گرم با تابستان خشک و به روش تحلیل خوش‌های بسیار کم بارش، گرم و خشک می‌باشد (مسعودیان و کاویانی، ۱۳۸۶: ۱۴۶). از خصوصیات مهم اقلیمی این منطقه می‌توان به وزش بادهای تند (بادهای ۱۲۰ روزه سیستان)، میانگن تعداد روزهای آفتابی سالیانه بیش از ۲۶۰ روز، تابش زیاد آفتاب، دامنه زیاد تغییرات دما در شباه روز، بارندگی متوسط سالیانه ناچیز (۶۴ میلی‌متر) با پراکندگی نامناسب، بالا بودن دما و تعداد ساعات آفتابی زیاد نام برد (سلیقه، ۱۳۸۲: ۴۲). مجموعه این عوامل باعث شده تا این منطقه بیشترین مقدار تبخیر بالقوه سالانه کشور (۵۰۰۰-۴۰۰۰ میلی‌متر در سال) را داشته باشد (راشکی و همکاران، ۱۳۸۶: ۷۵). باد ۱۲۰ روزه سیستان سهمناک‌ترین باد ایران بوده که سرعت وزش آن گاهی به بیش از ۱۲۰ کیلومتر بر ساعت می‌رسد. سرچشمۀ این باد از فلات پامیر و صحاری هرات بوده و از سرحد شرقی افغانستان وارد خاک ایران می‌شود (رفاهی، ۱۳۸۵: ۱۱۷). وجود کوه‌ها و دریاچه در شمال سیستان و کویرهای خشک در منطقه جنوبی نیز شیوه حرارتی بالایی را ایجاد کرده است (میری، ۱۳۸۴، ۴۳). از بین رفتن نیزارها در ناحیه شمال سیستان که خود عامل تثبیت بستر دریاچه محسوب می‌گردد، از یک سو باعث افزایش شیوه حرارتی در سال‌های کم آب و

خشک و از طرف دیگر، وزش بادهای ۱۲۰ روزه را با شدت‌های بسیار بالا، برای منطقه سیستان به ارمغان آورده است (رئیس‌پور و همکاران، ۱۳۸۹، ۶۷).



شکل ۱. موقعیت منطقه مورد مطالعه در جنوب شرق ایران

#### ۴- داده‌ها و روش شناسی

برای بررسی وضعیت طوفان در منطقه سیستان، از داده‌های بادسنگی ۳ ساعته سرعت و جهت باد ایستگاه سینوپتیک زابل، طی دوره‌ی آماری ۳۰ ساله (۱۳۵۹-۱۳۸۸) استفاده گردید. دوره آماری مذکور، کامل و فاقد نبود آماری بوده است (جدول ۲).

جدول ۲. مشخصات ایستگاه مورد مطالعه در منطقه سیستان

نام ایستگاه	ارتفاع از سطح دریا	طول جغرافیایی	عرض جغرافیایی	دوره آماری	نوع ایستگاه
زابل	۴۸۹	۶۱ : ۲۹	۳۱ : ۰۳	۳۰ ساله (۱۳۵۹ - ۱۳۸۸)	سینوپتیک

در داده‌های هواشناسی، زاویه باد بر حسب درجه مشخص گردیده، اما نوع جهت تعیین نشده است، از این‌رو، در ابتدا زاویه‌های باد به صورت جهت مشخص گردید. در این پژوهش ۱۶ جهت باد مورد ارزیابی قرار گرفتند که تفاوت زاویه هر جهت باد با جهت بعدی  $22/5$  درجه خواهد بود. از طرفی واحد سرعت در داده‌های هواشناسی گره یا گره دریایی می‌باشد که یک گره معادل  $0/515$  متر بر ثانیه است؛ بنابراین داده‌های سرعت باد از واحد گره، به متر بر ثانیه تبدیل گردید. پس از تنظیم جدول ماتریس داده‌ها، با استفاده از نرم‌افزار SPSS داده‌ها مرتب گردید. برای انتخاب روزهای طوفانی، سرعت مبنای  $24 \text{ m/s}$ ، براساس مقیاس بیوفورت (جدول ۲) و مورد تأیید سازمان هواشناسی (wmo) در نظر گرفته شد. بنابراین بادهای با سرعت مبنای و شدیدتر از آن به عنوان روزهای طوفانی محاسبه گردید. صحت و همگنی داده‌ها با استفاده از آزمون دنباله‌ها (Run Test) حاصل گردید. پس از انجام تحلیل‌های آماری، به منظور تجزیه و تحلیل داده‌های بادسنگی، از نرم‌افزار WRPLOT ver 5.2 که برای انجام محاسبات آماری و رسم گلباد طراحی شده است، استفاده شد. با استفاده از قابلیت نرم‌افزار مذکور و با در نظر گرفتن سرعت مبنای  $24 \text{ m/s}$  برای طوفان، به ترسیم گلطفان در مقیاس‌های زمانی سالانه و فصلی اقدام گردید. با محاسبه سرعت مبنای طوفان به جای سرعت پایه گلباد (حذف بادهای با سرعت کمتر از طوفان)، گلبادی حاصل می‌شود که گلطفان نام دارد. سپس برای پیش‌بینی

احتمال وقوع طوفان‌های شدید، از روش موسوم به تجزیه و تحلیل سری‌های جزئی (Partial series) استفاده شده است (مهدوی، ۱۳۸۶: ۸۱). در این روش با مطرح نمودن این استدلال که در بعضی از سال‌ها طوفان‌هایی رخ می‌دهد که سرعت آن‌ها از سرعت بیشنه در بعضی از سال‌ها بزرگ‌ترند  $3 \leq \lambda(f) = m/n \leq 5$  و می‌باید به منظور جلوگیری از خسارت‌های احتمالی و نیز ایمن سازی سازه‌ها مد نظر قرار گیرند. تاکنون در پژوهش‌های صورت گرفته توسط محققین و بکارگیری روش‌هایی مانند توزیع نرمال، توزیع گمبول و توزیع ویبول، تنها حداکثر سرعت طوفان هر سال در نظر گرفته می‌شد. در این تحقیق به روش تجزیه و تحلیل سری‌های جزئی، ابتدا طوفان‌های بالاتر از یک سرعت پایه، انتخاب گردیده و بدون توجه به سالی که در آن اتفاق افتاده‌اند ردیف شده و از رابطه ویبول احتمال وقوع آن‌ها محاسبه گردید؛ سپس در بررسی طوفان‌های شدید با دوره بازگشت معین و با استفاده از سال‌های آماری مشخص (۱۳۸۸ - ۱۳۵۹)، طوفان پایه ( $W_0$ ) به نحوی انتخاب گردید که سالانه به‌طور میانگین بین ۳ تا ۵ بار طوفان‌های شدیدتر از آن اتفاق افتاده باشد. در این روش صحت نتایج منوط به برقراری شرط می‌باشد که در این تحقیق برقرار بوده است. در گام دیگر آمار تمام طوفان‌هایی که بیش از مقدار مبنا ( $W_0$ ) است استخراج گردید. با در نظر گرفتن کلیه طوفان‌های با سرعت بیش از سرعت پایه ( $W_0$ ) که با ( $W_i$ ) مشخص شده است، متوسط وقوع آن‌ها در سال با استفاده از رابطه (۱) محاسبه گردید. برای پیش‌بینی سرعت طوفان با دوره بازگشت مورد نظر از معادله (۲) و سرعت متوسط طوفان‌های پیش‌بینی شده از معادله (۳) استفاده گردید (مهدوی، ۱۳۸۶، ۸۹) که نتایج کلی در جدول (۳) آمده است.

$$\lambda(f) = \frac{M}{N}$$

معادله (۱) (مهدوی، ۱۳۸۶: ۸۹)

$$W_T = (W_0 + (\beta \times \ln \lambda)) + (\beta \times \ln T)$$

معادله (۲)

$$\bar{W} = (W_0 + (\beta \times \ln \lambda)) + (0.5772 \times \beta)$$

معادله (۳)

$$\beta = \sum_{i=1}^M (W_i - W_0) / M$$

که در آن‌ها:

$\lambda(f)$ : متوسط روزهای طوفانی با سرعت بیش از سرعت پایه (بیش از  $24 \text{ m/s}$ ) در طول دوره آماری؛

$M$ : فراوانی روزهای طوفانی با سرعت بیش از سرعت پایه طی دوره آماری؛

$N$ : طول دوره آماری؛

$W_T$ : پیش‌بینی سرعت باد با دوره بازگشت  $T$ ؛

$T$ : دوره بازگشت؛

$W_0$ : سرعت طوفان پایه به متر بر ثانیه؛

$\beta$ : ضریبی که به انحراف از عدد پایه بستگی دارد؛

$\ln$ : لگاریتم نپرین؛

$(\beta * \ln T)$ : ضریب تناوب؛

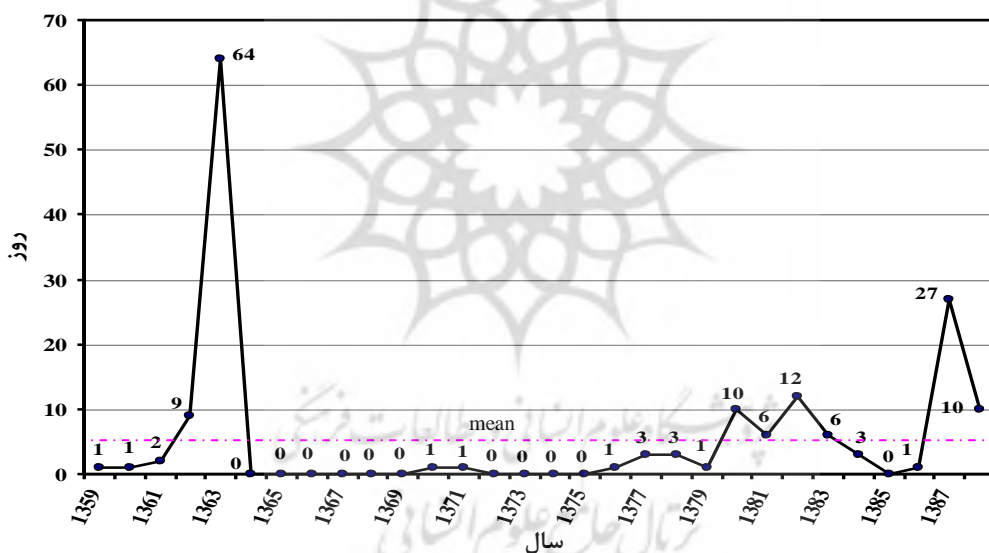
$w$ : میانگین سرعت طوفان‌های پیش‌بینی شده؛

**W<sub>i</sub>** : سرعت طوفان‌های مشاهده شده با سرعت بیش از سرعت مبنا؛

(Euler Constant) **0.5772**

#### ۵- یافته‌های تحقیق

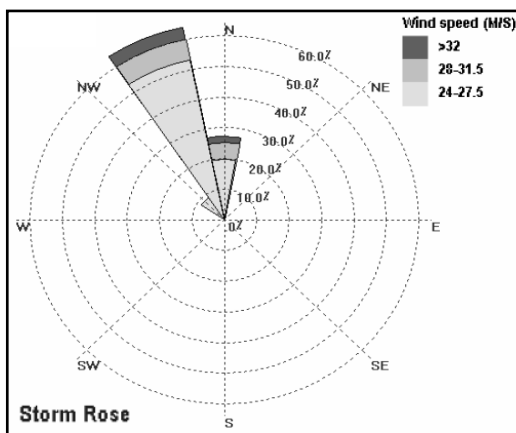
با بررسی آماری روزهای طوفانی با سرعت مبنا ( $24 \text{ m/s}$ ) و شدیدتر از آن طی دوره آماری مورد مطالعه (۱۳۵۹-۱۳۸۸)، همان طوری که شکل (۲) نشان می‌دهد، کل مشاهدات ۱۶۲ روز بوده است. در میان سال‌های آماری، سال‌های ۱۳۶۲ و ۱۳۸۷ به ترتیب با ۶۴ و ۲۷ روز، دارای بیشترین وقوع طوفان می‌باشند. طی این دوره بسیاری از سال‌ها فاقد روزهای طوفانی بوده‌اند. میانگین روزهای طوفانی طی دوره آماری مذکور  $5/4$  روز بوده است که اکثر سال‌ها از تعداد روزهای طوفانی کمتری نسبت به میانگین برخوردار بوده‌اند. براساس بررسی آمار ۳ ساعته باد در ایستگاه زابل، حداقل سرعت باد ثبت شده در این ایستگاه ۷۹ گره ( $40 \text{ m/s}$ ) بوده است، که در میان روزهای ثبت شده، سرعت طوفان در روزهای ۲۹ و ۳۰ بهمن ماه و ۲۶ خرداد ماه ۱۳۶۳ به مقدار مذکور ( $40 \text{ m/s}$ ) رسیده است. یک رژیم بسیار جالب روزانه هم در سری زمانی طوفان‌ها در ایستگاه زابل مشاهده شده است، به این ترتیب که بیش از ۷۵ درصد از روزهای طوفانی در ساعت ۳ تا ۹ به وقت گرینویچ (حدود ۶ صبح تا ۱۲ ظهر به وقت محلی) رخ داده‌اند.



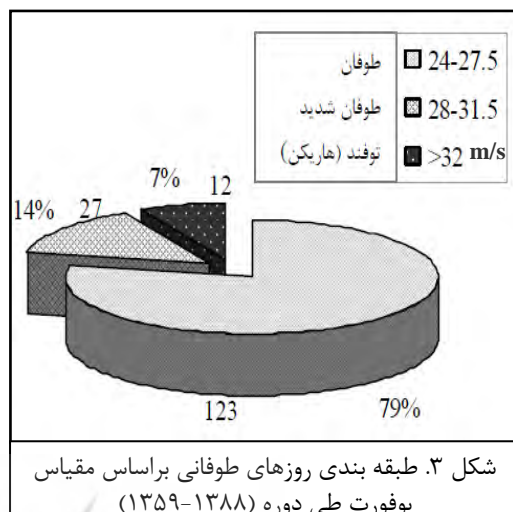
شکل ۲: نمودار سالانه روزهای طوفانی با سرعت مبنا ( $24 \text{ m/s}$ ) و شدیدتر در ایستگاه زابل طی دوره آماری، (۱۳۵۹-۱۳۸۸)

شکل (۳) طبقه‌بندی روزهای طوفانی را براساس مقیاس بیوفورت از سال ۱۳۵۹ تا ۱۳۸۸ نشان می‌دهد. براساس این نمودار، روزهای طوفانی با سرعت ( $27/5 \text{ m/s} - ۲۷/۵ \text{ m/s}$ ) از بیشترین فراوانی برخوردار بوده به‌طوری که از کل مشاهدات، تعداد ۱۲۳ روز ۷۹ را به خود اختصاص داده‌اند. در طبقات بعدی، طوفان شدید ( $31/۵ - ۳۱/۵ \text{ m/s}$ ) تعداد ۲۷ روز (۱۴٪) و توفند ( $۳۲ \text{ m/s}$ ) که شدیدترین روزهای طوفانی را در بر می‌گیرد، تعداد ۱۲ روز ۷٪ از کل مشاهدات را شامل شده است. گل‌طوفان سالانه‌ی حاصل از تعداد روزهای طوفانی در طول دوره آماری (۱۳۵۹-۱۳۸۸) در شکل (۴) آمده است. گل‌طوفان مذکور براساس سرعت پایه ( $24 \text{ m/s}$ ) به جای سرعت پایه گل‌باد (حذف بادهای با سرعت کمتر از مقدار مذکور) حاصل شده است. همان‌گونه که مشاهده

می شود، تمامی طوفان های مشاهده شده متعلق به جهت های باد غالب منطقه، یعنی شمال شمال غربی (NNW)، شمال (N)، و شمال غربی (NW) بوده است. در حقیقت این جهات، مطابق با جهت وزش بادهای روزه سیستان است.

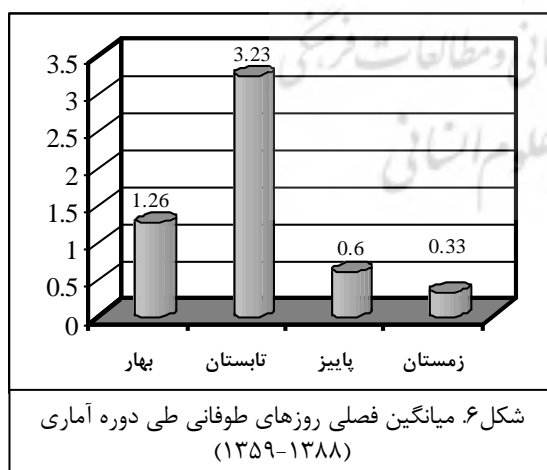


شکل ۴. گلطفان سالانه روزهای طوفانی طی دوره (۱۳۵۹-۱۳۸۸)

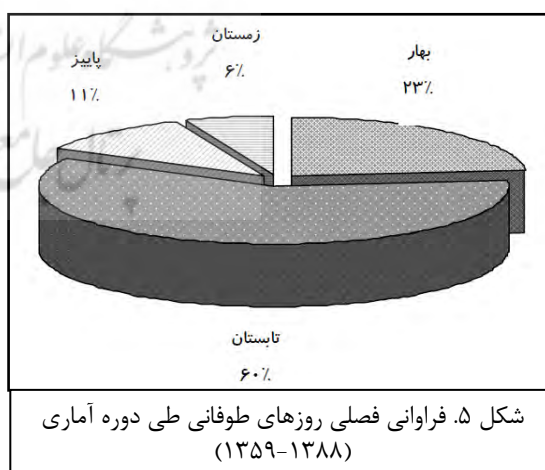


شکل ۳. طبقه بندی روزهای طوفانی براساس مقیاس بوفورت طی دوره (۱۳۵۹-۱۳۸۸)

در بررسی فصلی طوفانها، همان طوری که شکل های (۵ و ۶) نشان می دهند، تابستان طوفان خیزترین فصل منطقه سیستان است. پس از تابستان، بهار در اولویت بعدی قرار می گیرد و در فصل زمستان تعداد روزهای طوفانی به کمترین تعداد خود می رسد. به طور کلی ۸۳ درصد طوفان های منطقه سیستان در دوره گرم (تابستان و بهار) و ۱۷ درصد در دوره سرد سال (پاییز و زمستان) اتفاق می افتد (شکل ۵). به لحاظ میانگین فصلی نیز فصل تابستان با میانگین  $\frac{3}{23}$  روز در ردیف اول و فصل زمستان با میانگین  $0/33$  روز کمترین مقدار را شامل شده است (شکل ۶).



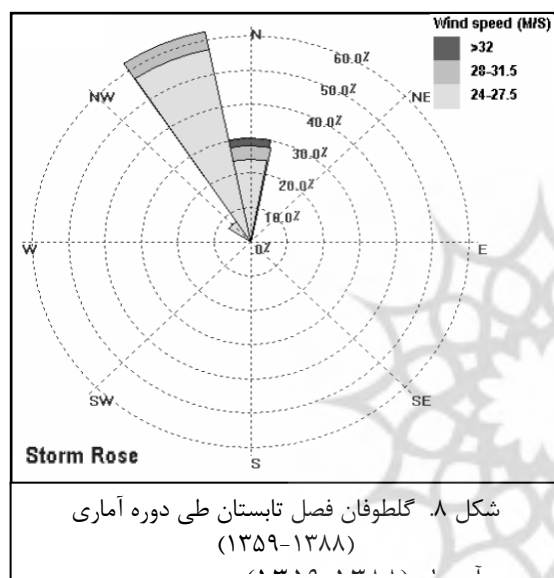
شکل ۶. میانگین فصلی روزهای طوفانی طی دوره آماری (۱۳۵۹-۱۳۸۸)



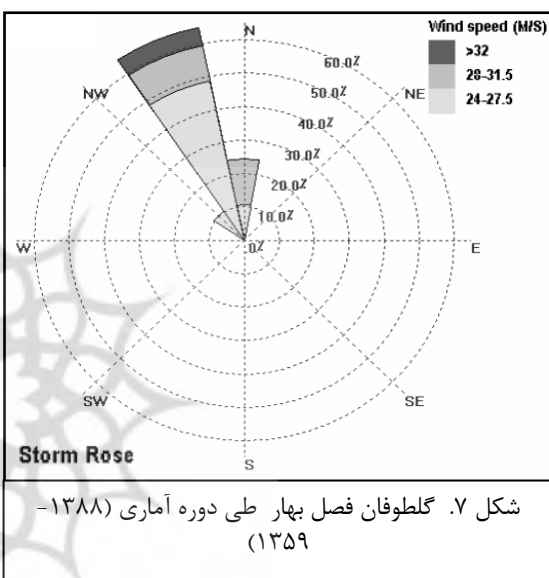
شکل ۵. فراوانی فصلی روزهای طوفانی طی دوره آماری (۱۳۵۹-۱۳۸۸)

گلطفان های فصلی حاصل از تعداد روزهای طوفانی در فصول مختلف سال نیز در شکل های (۷ تا ۱۰) آمده است. در گلطفان فصل بهار، ۶۵ درصد از روزهای طوفانی دارای جهت شمال شمال غربی (NNW)، ۲۵ درصد دارای جهت شمال (N)، و ۱۰ درصد دارای جهت شمال غربی (NW) بوده اند (شکل ۷). در گلطفان

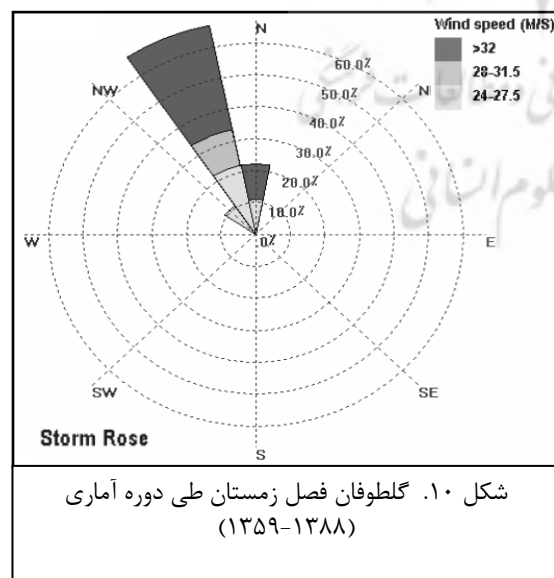
فصل تابستان، ۶۳ درصد دارای جهت شمال شمال غربی (NNW)، ۳۰ درصد دارای جهت شمال (N)، و ۷ درصد دارای جهت شمال غربی (NW) است (شکل ۸). در دوره سرد سال (پاییز و زمستان) جهات وزش طوفان‌ها، وضعیتی مشابه با دوره گرم سال (بهار و تابستان) دارند. گلطفان فصل پاییز، بیانگر وقوع ۶۹ درصد از روزهای طوفانی با جهت شمال شمال غربی (NNW)، ۱۹ درصد با جهت شمال (N)، و ۱۲ درصد با جهت شمال غربی (NW) است (شکل ۹). ۶۸ درصد از روزهای طوفانی فصل زمستان دارای جهت شمال شمال غربی (NNW)، ۲۲ درصد با جهت شمال (N)، و ۱۰ درصد شمال غربی (NW) می‌باشد (شکل ۱۰). گلطفان‌های فصلی ایستگاه زابل طی دوره آماری (۱۳۵۹-۱۳۸۸) نشان می‌دهد که همه طوفان‌های با سرعت ۲۴ m/s و بالاتر، در جهات بین دو زاویه  $22.5^\circ$  درجه تا  $22.5^\circ$  درجه می‌وزند. این وضعیت به خوبی نشان می‌دهد که جهات وزش تمامی طوفان‌های با ویژگی مذکور، مطابق با جهت وزش بادهای ۱۲۰ روزه می‌باشد.



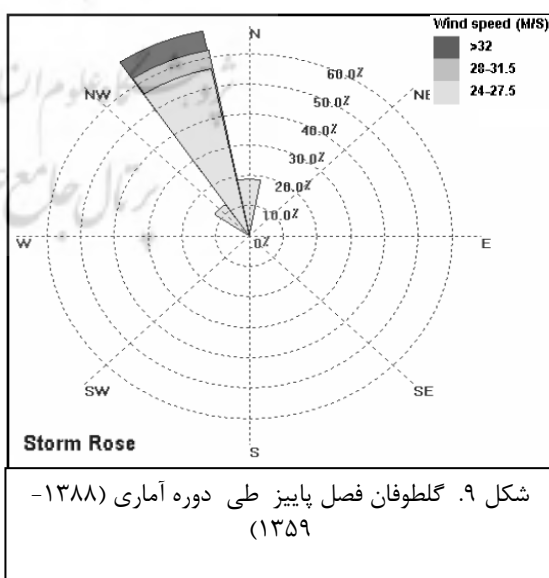
شکل ۸. گلطفان فصل تابستان طی دوره آماری (۱۳۵۹-۱۳۸۸)



شکل ۷. گلطفان فصل بهار طی دوره آماری (۱۳۵۹)

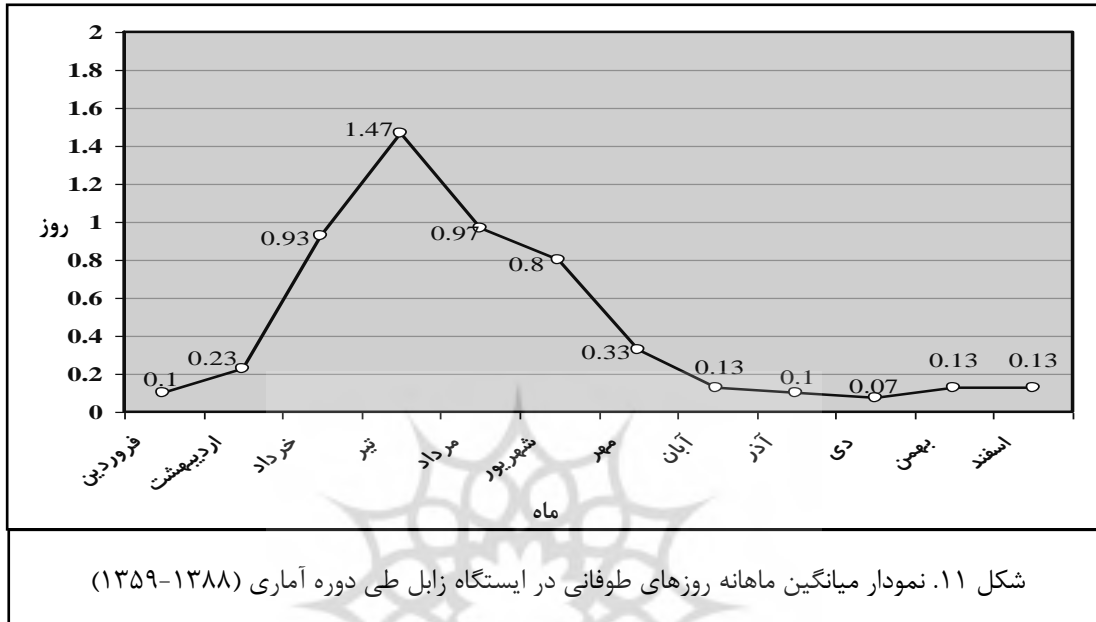


شکل ۱۰. گلطفان فصل زمستان طی دوره آماری (۱۳۵۹-۱۳۸۸)



شکل ۹. گلطفان فصل پاییز طی دوره آماری (۱۳۵۹-۱۳۸۸)

در بررسی ماهانه طی دوره آماری (۱۳۵۹-۱۳۸۸)، همان طوری که شکل (۱۱) نشان می‌دهد، ماه تیر با میانگین ۱/۴۷ روز بیشترین و دی‌ماه با میانگین ۰/۰۷ از کمترین میانگین‌برخوردار بوده است. براساس این شکل، افزایش روزهای طوفانی با سرعت  $24 \text{ m/s}$  و بیشتر، به تدریج از فروردین آغاز شده و در تیرماه به حداقل مقدار خود می‌رسند. بیشترین روزهای طوفانی در بازه زمانی خداداد تا شهریور اتفاق می‌افتد. این وضعیت مطابق زمان وزش بادهای ۱۲۰ روزه در منطقه سیستان می‌باشد.



شکل ۱۱. نمودار میانگین ماهانه روزهای طوفانی در ایستگاه زابل طی دوره آماری (۱۳۵۹-۱۳۸۸)

آخرین مورد در این تحقیق، پیش‌بینی احتمال وقوع طوفان‌های با سرعت بالاتر از سرعت مبدا ( $24 \text{ m/s}$ ) بوده است. نتایج حاصل از پیش‌بینی در بازه‌های زمانی مختلف، که براساس معادلات معرفی شده در روش تحقیق (معادلات ۲ و ۳) صورت گرفته است، به اختصار در جدول شماره (۳) آمده است. پیش‌بینی می‌شود در یک دوره بازگشت ۱ ساله، با احتمال نزدیک به  $100$  درصد، طوفانی با سرعت  $28/27 \text{ m/s}$  به وقوع پیوندد. بنابراین در منطقه سیستان، همه ساله می‌توان شاهد طوفانی بود که با سرعت حداقل  $28/22 \text{ m/s}$  اتفاق بیفتد. پیش‌بینی احتمال وقوع طوفان، برای دوره‌های بازگشت با بازه زمانی طولانی تر (۲ تا  $100$  سال)، از احتمال وقوع طوفان با سرعت‌های بیشتر خبر می‌دهد، به این مفهوم که یک رابطه خطی و مستقیم میان این دو برقرار می‌باشد، هرچند که با طولانی تر شدن دوره بازگشت، درصد احتمال وقوع ضعیفتر می‌گردد؛ به‌طوری که در دوره بازگشت  $100$  ساله، پیش‌بینی می‌شود با احتمال  $1$  درصد، طوفانی با سرعت نزدیک به  $42 \text{ m/s}$  در منطقه سیستان اتفاق بیفتد. گرچه درصد احتمال وقوع طوفان با سرعت مذکور خیلی ضعیف می‌باشد، اما احتمال اینکه طوفانی با سرعت قید شده، در یک بازه زمانی  $100$  ساله رخ دهد، دور از انتظار نیست؛ بنابراین در برنامه‌ریزی‌های محیطی منطقه، باید احتمال وقوع طوفان‌های با سرعت بیش از  $42 \text{ m/s}$  را در نظر گرفت تا با ایمنی‌سازی سازه‌ها، در صورت وقوع طوفانی با خصوصیات مذکور، خساراتی به تأسیسات وارد نگردد.

جدول ۳. میانگین سرعت و پیش‌بینی احتمال وقوع طوفانهای با سرعت بیش از  $24\text{m/s}$  با دوره بازگشت به روش تجزیه و تحلیل سریهای جزئی (Partial Series) T

$P\% = 1/T$ (درصد احتمال):	۱	۲	۵	۱۰	۲۰	۵۰	۹۹/۹۹
(دوره بازگشت به سال): T:	۱۰۰	۵۰	۲۰	۱۰	۵	۲	۱
LnT: لگاریتم نپرین دوره بازگشت	۴/۶۰۵	۳/۹۱۲	۲/۹۹۵	۲/۳۰۲	۱/۶۰۹	۰/۶۹۳	۰
(ضریب تناوب): $\beta^* \ln T$	۱۳/۷۲	۱۱/۶۶	۸/۹۳	۶/۸۶	۴/۸	۲/۰۷	۰
$W_T(M/S)$ : (طوفان پیش‌بینی شده)	۴۱/۹۹	۳۹/۹۳	۳۷/۲	۳۵/۱۳	۳۲/۰۷	۳۰/۳۴	۲۸/۲۷
$\lambda(f) = ۴/۲$	$\beta = ۲/۹۸$	$\beta^* \ln \lambda = ۴/۲۷$			$W_0 = ۲۴$		
$\bar{W} = ۳۰(M/S)$	$M = ۱۲۶$		$N = ۳۰$		$\ln \lambda(f) = ۱/۴۳$		

## ۶- نتیجه‌گیری

همان‌طور که ملاحظه گردید، وقوع طوفان‌های با سرعت  $24\text{m/s}$  و بالاتر، در منطقه سیستان یک پدیده نسبتاً متداول و از خصوصیات ذاتی منطقه است، به‌طوری که طی یک دوره آماری ۳۰ ساله (۱۳۵۹-۱۳۸۸)، ۱۶۲ روز طوفانی با سرعت قید شده مشاهده شده است. در میان سال‌های آماری، سال ۱۳۶۲ و ۱۳۸۷ به‌ترتیب دارای ۶۴ و ۲۷ روز، از بیشترین و در مقابل برخی از سال‌ها هم فاقد روزهای طوفانی بوده‌اند. میانگین سالانه روزهای همراه با طوفان  $5/4$  روز بوده است. براساس بررسی داده‌های بادسنجی، حداقل سرعت باد ثبت شده  $40\text{m/s}$  و در روزهای طوفانی  $29$  و  $30$  بهمن ماه  $1362$  و  $20$  خرداد  $1363$  رخ داده داده است. طبقه‌بندی روزهای طوفانی براساس مقیاس بیوفورت که از جمله مقیاس‌های سازمان جهانی هواشناسی (WMO) است،  $79$  درصد مشاهدات، از طوفان‌ها دارای سرعت  $(24-27/5)$ ،  $14$  درصد از سرعت  $(28-31/5)$  و  $7$  درصد از سرعت  $32$  متر بر ثانیه و بالاتر برخوردار بوده‌اند. در بررسی فصلی طوفان‌ها، فصل تابستان طوفان خیزترین و فصل زمستان کم طوفان‌ترین فصل بوده است. در میان ماه‌ها نیز تیرماه با میانگین  $1/74$  روز بیشترین و دی ماه با میانگین  $0/07$  روز از کمترین تعداد روزهای طوفانی برخوردار بوده است. نمودار گلطفوان سالانه و فصلی نشان داده است که جهات غالب رخداد طوفان‌ها به‌ترتیب اولویت، شمال شمال غربی (NW)، شمال (N) و شمال غربی (NW) بوده که منطبق با جهات وزش بادهای  $120$  روزه در منطقه سیستان است. نتایج حاصل از پیش‌بینی احتمال وقوع طوفان‌های با سرعت بالاتر از سرعت مبدأ ( $24\text{m/s}$ ، که به روش تجزیه و تحلیل سری‌های جزئی (Partial series) در دوره‌های بازگشت مختلف انجام گرفته (جدول ۳)، نشان داده است با احتمال نزدیک به  $100$  درصد در دوره بازگشت  $1$  ساله طوفانی با سرعت  $28/27\text{m/s}$  به وقوع بپیوندد. همچنین پیش‌بینی می‌شود در یک دوره بازگشت  $100$  ساله، با احتمال  $1$  درصد طوفانی با سرعت نزدیک به  $42\text{m/s}$  در منطقه سیستان رخ دهد؛ بنابراین در برنامه‌ریزی‌ها و مطالعات محیطی، لازم است احتمال وقوع طوفان‌های با سرعت بیش از  $40\text{m/s}$  را در نظر گرفت تا ضمن ایمنی‌سازی سازه‌ها، در صورت وقوع طوفان‌های شدید، میزان خسارات را به حداقل ممکن تقلیل داد.

## ۷- فهرست منابع

- احمدی، حسن (۱۳۷۰)، نگرشی بر اقلیم سیستان، مرکز تحقیقات کشاورزی زابل، زابل.
- اکبری مقدم، حسین، و اعتصام، غلامرضا (۱۳۷۰)، کشاورزی و سیستان، مجموعه مقالات اولین همایش سیمای فردای سیستان، دانشکده کشاورزی زابل، صص ۶۸-۶۴.
- جعفرپور، ابراهیم (۱۳۸۵)، اقلیم شناسی، انتشارات دانشگاه پیام نور، تهران.
- خسروی، محمود، و سلیقه، محمد (۱۳۸۴)، اثرات اکولوژیکی و زیست محیطی بادهای ۱۲۰ روزه سیستان، طرح پژوهشکده علوم زمین و جغرافیا، انتشارات دانشگاه سیستان و بلوچستان.
- رازجویان، محمود (۱۳۸۶)، آسایش در پناه باد، چاپ دوم، انتشارات دانشگاه شهید بهشتی، تهران.
- ۶ - راشکی، علیرضا، و زرین، هدایت الله (۱۳۸۶)، پیامدهای بادهای ۱۲۰ روزه در خشکسالی های اخیر دشت سیستان، مجموعه مقالات همایش منطقه ای خشکسالی، پیامدها و راهکارهای مقابله با آن، دانشگاه آزاد اسلامی واحد بیرجند، بیر جند.
- رفاهی، حسینعلی (۱۳۸۵)، فرسایش بادی و کنترل آن، انتشارات دانشگاه تهران، تهران.
- رئیسپور، کوهزاد، و طاووسی، تقی، و خسروی، محمود (۱۳۸۹)، بررسی تأثیر طوفان های شن به عنوان یکی از مهم ترین عوامل بازدارنده توسعه در منطقه سیستان، مجموعه مقالات همایش جغرافیا، توسعه و امنیت در جنوب شرق کشور، دانشگاه امام حسین(ع)، تهران.
- سازمان هواسناسی کشور (۱۳۸۵)، مرکز پژوهش مخاطرات اقلیمی، بولتن علمی، شماره ۳ و ۴، تابستان ۱۳۸۵، صص ۲۶-۱۷.
- سایت آفتاب (۱۳۸۹)، گزارش ستاد حوادث غیرمنتقبه کشور از رخداد طوفان در ایران.
- سلیقه، محمد (۱۳۸۲)، توجه به باد در ساخت کالبد فیزیکی شهر زابل، فصلنامه جغرافیا و توسعه، دانشگاه سیستان و بلوچستان، شماره ۱، ص ۴۲.
- علیجانی، بهلول (۱۳۸۵)، آب و هوای ایران، انتشارات دانشگاه پیام نور، تهران.
- علیزاده، امین، و کمالی، غلامعلی (۱۳۸۶)، هوا و اقلیم شناسی، انتشارات دانشگاه فردوسی مشهد.
- قائمی، هوشنگ، و عدل، محمود (۱۳۷۱)، ناپایداری و طوفان های رعد و برق، سازمان هواسناسی کشور، تهران.
- کاویانی، محمدرضا، و علیجانی، بهلول (۱۳۸۶)، مبانی آب و هواسناسی، انتشارات سمت، تهران.
- گندمکار، امیر، و کاویانی، محمدرضا، و مسعودیان، سید ابوالفضل (۱۳۸۶)، بررسی انرژی باد در منطقه سیستان به منظور تولید انرژی بادی، مجله علوم انسانی دانشگاه اصفهان، جلد ۲۷، شماره ۶، صص ۱۰۴-۹۵.
- مرجانی، سید صدر الدین (۱۳۷۲)، بررسی سینوپتیکی بادهای شدید بیش از ۱۵ متر بر ثانیه در خراسان، پایان نامه دوره کارشناسی ارشد هواسناسی، دانشگاه تهران.
- مسعودیان، سید ابوالفضل، و کاویانی، محمدرضا (۱۳۸۶)، اقلیم شناسی ایران، انتشارات دانشگاه اصفهان، اصفهان.

- مصطفی، ناصر میرزا، و خلیلی، داور، و ناظم السادات، محمد جعفر (۱۳۸۷)، پیش‌بینی ساعتی سرعت و جهت بادهای فرساینده با استفاده از داده‌های ۳ ساعته، *فصلنامه تحقیقات مرتع و بیابان ایران*، جلد ۱۵، شماره ۱، صص ۸۵-۶۹.
- معاونت برنامه‌ریزی استانداری (۱۳۸۵)، آمارنامه استان سیستان و بلوچستان، انتشارات مرکز آمار ایران، تهران.
- مهدوی، محمد (۱۳۸۵)، *هیدرولوژی کاربردی* (جلد اول)، چاپ پنجم، انتشارات دانشگاه تهران، تهران.
- مهدوی، محمد (۱۳۸۶)، *هیدرولوژی کاربردی* (جلد دوم)، چاپ ششم، انتشارات دانشگاه تهران، تهران.
- میری، عباس (۱۳۸۴)، *تعیین خسارت طوفان‌های گرد و غبار در شهرستان زابل*، پایان‌نامه‌ی کارشناسی ارشد، دانشگاه تهران.
- 24 - Dayan U. and Koch J.(1986), **A Synoptic analysis of the meteorological conditions affecting dispersion of pollutants emitted from tallstacksin the coastal plain of Israel**, pp: 537– 543.
- 25 - Hagen, L.J. (1976), **A wind erosion predication system to meet user needs** . j . soil water conserve .46: 106-11.
- 26 - Lin, Gguanghui. (2002), **dust storm in the 1930 and sand storm in 1999 in the USA, Global Alarm; dust and sand storm from the world dry lands**, pp: 160-170.
- 27 - Stewart, D.A. and Essenwanger. O.M. (1987), **Freqeuncy distribution of wind speed near the surface** . j .Appl. Meteor .17:633-642.
- 28 - Zobeck, T.M. (1991), **Soil properties affecting wind erosion**. J. Soil water conserve. 46: 112-118.

